

宮崎大学大学院 学生員 ○織田 隆夫
 宮崎大学工学部 学生員 真弓 省吾
 宮崎大学工学部 正員 原田 隆典

1. まえがき 地中構造物の耐震性は、地震動の空間的変動に強く影響される。したがって、地震動の空間的変動に関する特性を工学的に整理する必要がある。図-1はSMART1による最大加速度の空間分布の一例である（X軸がEW, Y軸がNS）。この領域の地盤はある程度一様であるにもかかわらず、最大加速度は空間的に大きくばらつくことが認められる。本文では、このような地震動の空間的変動を確率過程理論を援用して、“地盤変形スペクトル”としてまとめたので報告する。

2. SMART1データの確率的解析²⁾ SMART1では同時観測のできる地震計が図-2に示すように配置されている。本報告の解析は、1981年1月29日、M=6.9の地震(Event 5)の加速度記録の強震部分7秒間を対象とした。まず、この加速度記録を変位に変換し、次に、地震動の伝播方向等の推定を目的に、各地点の記録に対して座標軸を回転させて、ひとつの相互相関(E[$\zeta_i(t)\zeta_j(t)$])が震になるよう座標回転角 ϕ を求める(図-2参照)。全地点での平均的な値として、 $\phi=77^\circ$ を解析に用いることとする。 $\phi=77^\circ$ に対する座標軸に関して、EW成分とNS成分を変換したものを作成し、 $\zeta_i(t), \zeta_j(t), (i, j\text{ 地点})$ とし、これらが常規過程とすると、地震時の地盤の空間相関関数は、(1)式により決定できる。(1)式において、 β_1, β_2 は2地点間のそれぞれX方向、Y方向の距離、 T_{12} は継続時間である。なお、ここでの空間相関は、各波形の2乗平均でその波形を標準化して得られた波形に対して、(1)式を用いて計算した。こうして求めた空間相関を(2)式のように近似してみた。(2)式において、 α は地盤の変動を規定するパラメータ(メートル)^{1/2}の次元を持ち、 α_x, α_y はそれぞれX方向、Y方向での地盤変位の標準偏差である。 α の値を決定するために、(2)式より計算したEvent 5の空間相関($\uparrow\downarrow$)と $\alpha_{xy}=8.8388 \times 10^{-4}, \alpha_{yy}=\alpha_{xx}/5=1.7678 \times 10^{-4}$ として(2)式より求めた値($\uparrow\downarrow$)を同時に図-3のように描いた。両者のよい一致が認められるが、R_{xy}に関しててもほぼ同様な結果が得られた。次に、地震時の地盤ひずみについて考える。一般に、2次元的なひずみは、(3)式の

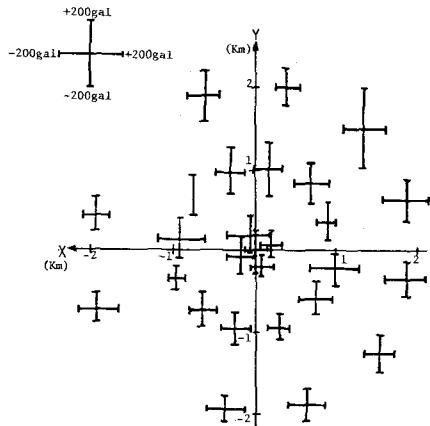


Fig. 1 Spatial Distribution of Maximum Ground Acceleration, Event 5

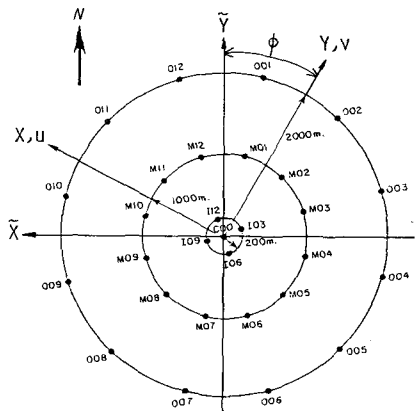


Fig. 2 SMART 1 Strong Motion Array

$$R_x(\vec{\beta}) = \frac{1}{T_{12}} \int_{t_0}^{t_0+T_{12}} x(x, t)x(x+\vec{\beta}, t) dt \quad \dots (1)$$

$$R_x(\vec{\beta}) = \sigma_x^2 \exp[-(-\frac{1}{2}|\vec{\beta}\alpha|^2) \cdot [1 - 2|\vec{\beta}\alpha|^2]] \quad \dots (2)$$

$$B = \lim_{\beta_1, \beta_2 \rightarrow 0} C \cdot D \quad \dots (3) \quad \text{ここで, } B = \begin{bmatrix} E_{xx} & E_{xy} \\ E_{yx} & E_{yy} \end{bmatrix}, D = \begin{bmatrix} u(x+\beta_1, y) - u(x, y), u(x, y+\beta_2) - u(x, y) \\ v(x+\beta_1, y) - v(x, y), v(x, y+\beta_2) - v(x, y) \end{bmatrix}, C = \begin{bmatrix} \frac{1}{\beta_1} & 0 \\ 0 & \frac{1}{\beta_2} \end{bmatrix}$$

$$\vec{\epsilon}_{max} = \{E_{xmax}, E_{ymax}, Y_{xmax}\}^T \quad \dots (4) \quad \text{ここで, } E_{xmax} = E_{xxmax}, E_{ymax} = E_{yymax}, Y_{xmax} = \sqrt{(E_{xymax})^2 + (E_{yymax})^2}$$

ように各要素ごとに表現できよう。したがって、ひずみを求めるには、(3)式中の①で与えられる4種類の相対変位を求めなければならない。この4種類の相対変位の最大値 d_{max} は、確率的

に計算すると次式により求められる。

$$\frac{d_{max}}{\sigma_D} = \begin{cases} \sqrt{2 \times 1.3 \ln(1.25 \frac{A_0}{A})}, & (A_0 \geq 1.72 A) \\ \sqrt{2}, & (\text{otherwise}) \end{cases} \quad (5)$$

ここで

$$\frac{d_{max}}{\sigma_D} = \left[\begin{array}{cc} \frac{d_{xxmax}}{\sigma_{Dxx}} & \frac{d_{xymax}}{\sigma_{Dyx}} \\ \frac{d_{yxmax}}{\sigma_{Dyx}} & \frac{d_{yymax}}{\sigma_{Dyy}} \end{array} \right], A = \begin{bmatrix} A_{xx} & A_{xy} \\ A_{yx} & A_{yy} \end{bmatrix}$$

(5)式において、 A_0 、 A はそれぞれ2次元ボアソン過程における対象領域面積、震を横切る平均面積であり、 σ_D は相対変位の標準偏差で、多の関数として求められる。したがって、相対変位の最大値 d_{max} は2地点間距離 s の関数として最終的に求めることができる。これより、(2)式により、ひずみ要素 B を多の関数として計算できる。図-4の実線は、Event 5のデータからこのようにして求めた相対変位の最大値 d_{max} 、地盤ひずみ要素の最大値 B_{max} と2地点間距離 s の関係を示す。また、データから直接計算したものと $\{\bullet, \blacktriangle, \circ, \triangle\}$ で示している。なお、ひずみ要素は、(2)式の関係より、両座標軸の45°方向の軸として描かれている。このように、地震計アレー観測記録の解析から、図-4で示すような“地盤変形スペクトル”を描くことにより、2地点間の最大相対変位や最大地盤ひずみが次のように求められる。

3 例題 図-4の“地盤変形スペクトル”を用いて、C-00地点とM-07地点(図-2参照)の間の最大相対変位と最大ひずみを求めてみる。まず、両地点の距離 s を計算すると、 $s_1 = 885(m)$ 、 $s_2 = 471(m)$ となる。次に、 s に対応する4種類の最大相対変位を図-4の実線から読み取ると、 $d_{xxmax} = 2.5(cm)$ 、 $d_{yxmax} = 2.0(cm)$ 、 $d_{xymax} = 0.36(cm)$ 、 $d_{yymax} = 0.27(cm)$ となる。最後に、(3)、(4)式を用いてC-00—M-07地点間の平均最大地盤ひずみを計算すると、 $\varepsilon_x = 2.8 \times 10^{-5}$ 、 $\varepsilon_y = 5.7 \times 10^{-6}$ 、 $\gamma_{xy} = 2.4 \times 10^{-5}$ が得られる。

(参考文献) 1) Loh, C.H., Pennington, J., Tsai, Y.B. "Engineering Analysis of SMART1 Array Accelerograms" Earthquake Engineering & Structural Dynamics, Vol. 10, No. 4, July-August, 1982. 2) Narada, T. "Probabilistic Modeling of Spatial Variation of Strong Earthquake Ground Displacements" Proc. of the 8th WCEE, San Francisco, 1984

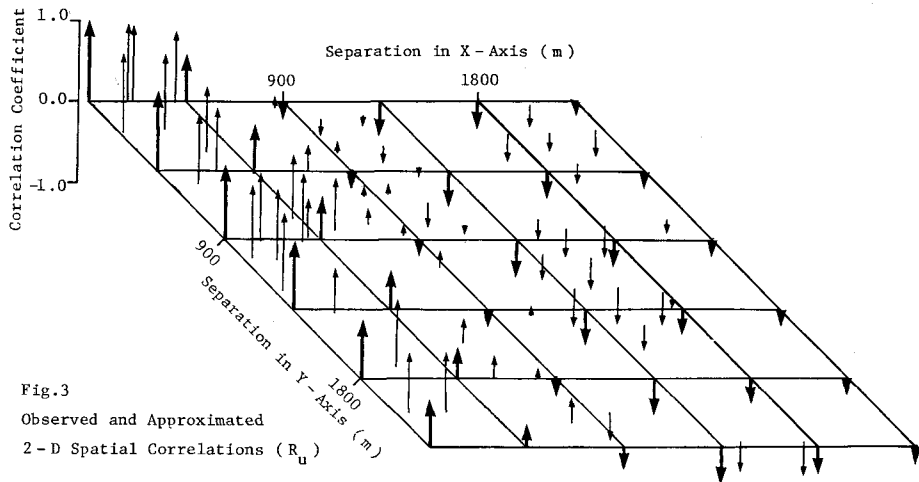


Fig. 3

Observed and Approximated

2-D Spatial Correlations (R_u)

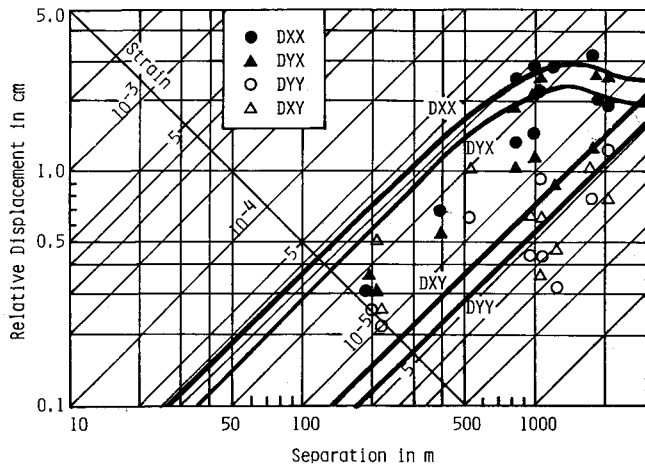


Fig. 4 Spectra of Relative Displacement and Ground Strain from the SMART 1 Data (Event 5)